

数值计算方法：原理、算法和应用

Numerical Methods: Principles, Algorithms and Applications

授课教师：周铁

北京大学数学科学学院

2021 年 10 月 1 日

1 多项式插值与数值微分

- 插值问题的背景
- 多项式插值
- Lagrange 插值
- Newton 插值
- Neville 插值
- 多项式插值的截断误差
- 高次多项式插值的缺点
- 分段线性插值
- 分段三次 Hermite 插值
- 三次样条插值
- 数值微分

插值问题的背景

插值的背景—用简单函数近似未知或复杂函数

某个一元函数 $f(x)$, 给定它在某些点上的函数值:

$$y_k = f(x_k), \quad k = 0, 1, 2, \dots, n.$$

现在想得到在其它点的函数值, 怎么办?

一个朴素的想法: 利用数据 $\{(x_k, f(x_k))\}_{k=0}^n$ 在我们熟悉的函数类中找一个“替代品” $\varphi(x)$, 使得 $f(x) \approx \varphi(x)$.

- ① $\varphi(x)$ 尽量简单 (适合在计算机中运算).
- ② $\varphi(x)$ 很好地逼近目标函数 $f(x)$ (这点很难!).

Weierstrass 逼近定理 (Karl Weierstrass, 1885)

设实值函数 $f(x) \in C[a, b]$, 则对 $\forall \epsilon > 0$, 存在多项式 $p(x)$ 使得

$$\max_{x \in [a, b]} |f(x) - p(x)| < \epsilon.$$

插值问题的提法

插值 (interpolation) 的定义:

给定数据

x	x_0	x_1	x_2	\cdots	x_n
$f(x)$	$f(x_0)$	$f(x_1)$	$f(x_2)$	\cdots	$f(x_n)$

确定函数 $f(x)$ 的一个“替代品”函数 $\varphi(x)$, 使得

$$\varphi(x_k) = f(x_k), \quad k = 0, 1, 2, \dots, n.$$

的过程称为插值, $\varphi(x)$ 称为 $f(x)$ 的插值函数.

- 需要事先指定插值函数所在的函数类, 常用函数类有: 多项式, 三角函数, 有理函数.
- 插值数据 $(x_k, y_k), k = 0, 1, 2, \dots, n$ 中的 x_k 称为插值节点, 需要互异.

多项式插值

多项式插值的定义:

给定数据 $\{(x_k, y_k = f(x_k))\}_{k=0}^n$, 其中 x_k 互异. 通过这些数据确定一个最高 n 次的一元多项式函数:

$$\begin{aligned} p(x) &= a_n x^n + a_{n-1} x^{n-1} + \cdots + a_1 x + a_0 \\ &= \sum_{k=0}^n a_k x^k \end{aligned}$$

使得

$$p(x_k) = y_k = f(x_k), \quad k = 0, 1, 2, \dots, n. \quad (1)$$

的过程称为多项式插值, $p(x)$ 称为函数 $f(x)$ 的插值多项式, 它需要满足的条件(1)称为插值条件.

- 数据点的个数 $n + 1$ 就是插值多项式 $p(x)$ 系数的个数.

通过解线性方程组实现多项式插值

要找到 n 次插值多项式 $p(x)$ 满足插值条件(1), 只要解一个关于其系数 a_0, a_1, \dots, a_n 的线性方程组.

以 $n = 2$ 为例, 线性方程组的矩阵形式为:

$$\begin{bmatrix} 1 & x_0 & x_0^2 \\ 1 & x_1 & x_1^2 \\ 1 & x_2 & x_2^2 \end{bmatrix} \begin{bmatrix} a_0 \\ a_1 \\ a_2 \end{bmatrix} = \begin{bmatrix} f(x_0) \\ f(x_1) \\ f(x_2) \end{bmatrix}$$

系数矩阵是一个 Vandermonde 矩阵, 由于插值节点 x_0, x_1, x_2 互异, 这个矩阵必为可逆矩阵, 所以方程组的解存在且惟一.

$$\begin{bmatrix} a_0 \\ a_1 \\ a_2 \end{bmatrix} = \begin{bmatrix} 1 & x_0 & x_0^2 \\ 1 & x_1 & x_1^2 \\ 1 & x_2 & x_2^2 \end{bmatrix}^{-1} \begin{bmatrix} f(x_0) \\ f(x_1) \\ f(x_2) \end{bmatrix}$$

这个方法完全可以推广到更多个节点的情形, 它从理论上解决了多项式插值问题的存在惟一性, 甚至给出了一种算法, 但这不是一个实用的算法.

Lagrange 插值

Lagrange 插值

所有不高于 n 次的一元多项式构成一个数域 \mathbb{K} 上的 $n+1$ 维线性空间:

$$\mathbb{P}_n = \{a_n x^n + a_{n-1} x^{n-1} + \cdots + a_1 x + a_0 \mid \forall a_k \in \mathbb{K}\}$$

定义 $l_0(x), l_1(x), \cdots, l_n(x) \in \mathbb{P}_n$ 为:

$$l_i(x) = \prod_{k=0, k \neq i}^n \frac{x - x_k}{x_i - x_k}, \quad \text{显然满足 } l_i(x_k) = \delta_{i,k} = \begin{cases} 1, & i = k \\ 0, & i \neq k \end{cases}$$

关键是它们组成线性空间 \mathbb{P}_n 的一组基 (basis). 于是有

$$p(x) = \sum_{i=0}^n f(x_i) l_i(x) = f(x_0) l_0(x) + f(x_1) l_1(x) + \cdots + f(x_n) l_n(x).$$

这组基函数 $\{l_i(x)\}_{i=0}^n$ 称为 Lagrange 插值基函数.

- 实现 Lagrange 插值的关键是利用 $f(x)$ 的插值数据

$$(x_i, f(x_i)), \quad i = 0, 1, \dots, n$$

计算 Lagrange 插值基函数

$$l_i(x) = \prod_{k=0, k \neq i}^n \frac{x - x_k}{x_i - x_k}, \quad i = 0, 1, 2, \dots, n$$

这需要 $O(n^2)$ 计算量.

- 当插值节点离得比较近的时候, 会产生较大的计算误差.
- Lagrange 插值多项式的函数值的计算不能利用 Horner 算法.
- 当增加一个插值数据 $(x_{n+1}, f(x_{n+1}))$ 的时候, 所有的 Lagrange 插值基函数 $l_i(x)$, $i = 0, 1, 2, \dots, n, n+1$ 都要重新计算.

Newton 插值

Newton 插值

$n + 1$ 个次数依次递增的多项式:

$$1, \quad x - x_0, \quad (x - x_0)(x - x_1), \quad \cdots, \quad \prod_{j=0}^{n-1} (x - x_j)$$

也构成线性空间 \mathbb{P}_n 的基函数. 于是不高于 n 次的插值多项式必可写成:

$$p(x) = a_0 + a_1(x - x_0) + a_2(x - x_0)(x - x_1) + \cdots + a_n \prod_{j=0}^{n-1} (x - x_j).$$

这个多项式称为函数 $f(x)$ 的 Newton 插值多项式, 还可以写成紧凑形式

$$p(x) = \sum_{k=0}^n a_k \prod_{j=0}^{k-1} (x - x_j), \quad \text{其中规定} \prod_{j=0}^{-1} (x - x_j) = 1. \quad (2)$$

只要把系数 a_k 计算出来, 就可确定 Newton 插值多项式.

系数 a_0, \dots, a_n 需要通过插值条件确定, 这只要解线性方程组:

$$\left\{ \begin{array}{l} a_0 = f(x_0) \\ a_0 + a_1(x_1 - x_0) = f(x_1) \\ a_0 + a_1(x_2 - x_0) + a_2(x_2 - x_0)(x_2 - x_1) = f(x_2) \\ \vdots \\ a_0 + a_1(x_n - x_0) + \dots + a_n \prod_{j=0}^{n-1} (x_n - x_j) = f(x_n) \end{array} \right. \quad (3)$$

这是下三角形线性方程组, 系数矩阵对角线元素都非零, 解存在惟一. 不难得到前几个系数为:

$$a_0 = f[x_0] := f(x_0), \quad \text{在一点处的零阶差商}$$

$$a_1 = f[x_0, x_1] := \frac{f[x_1] - f[x_0]}{x_1 - x_0}, \quad \text{在两点处的一阶差商}$$

$$a_2 = f[x_0, x_1, x_2] := \frac{f[x_1, x_2] - f[x_0, x_1]}{x_2 - x_0}, \quad \text{在三点处的二阶差商}$$

etc.

下面介绍差商的一般概念.

给定 $y = f(x)$ 在互不相同的点 x_0, x_1, x_2, \dots 上的函数值 y_0, y_1, y_2, \dots , 定义

$$f[x_i, x_j] = \frac{y_j - y_i}{x_j - x_i} = \frac{f(x_j) - f(x_i)}{x_j - x_i}$$

为 $f(x)$ 在节点 x_i, x_j 上的 **1 阶差商**; 定义

$$f[x_i, x_j, x_k] = \frac{f[x_j, x_k] - f[x_i, x_j]}{x_k - x_i},$$

为 $f(x)$ 在节点 x_i, x_j, x_k 上的 **2 阶差商**. 一般地, 对于任意大于 1 的正整数 k , 有了 $k-1$ 阶差商之后, 可以定义 $f(x)$ 在节点 $x_i, x_{i+1}, \dots, x_{i+k}$ 上的 **k 阶差商** ($k \geq 1$) 为

$$\begin{aligned} f[x_i, x_{i+1}, \dots, x_{i+k}] \\ = \frac{f[x_{i+1}, x_{i+2}, \dots, x_{i+k}] - f[x_i, x_{i+1}, \dots, x_{i+k-1}]}{x_{i+k} - x_i}. \end{aligned}$$

对于给定的插值数据 $(x_i, f(x_i))$, $i = 0, 1, \dots, n$ 和不在插值节点上的一点 x , 根据差商的定义, 有下列等式:

为了证明 n 次多项式 $N_n(x)$ 满足插值条件:

$$N_n(x_j) = f(x_j), \quad j = 0, 1, 2, \dots, n.$$

只要证明 $N_n(x) \equiv L_n(x)$ 即可, 这里 $L_n(x)$ 就是 Lagrange 插值多项式. 对 $f(x) = L_n(x)$ 应用等式(4), 有

$$\begin{aligned} L_n(x) &= L_n[x_0] + L_n[x_0, x_1](x - x_0) + \cdots \\ &\quad + L_n[x_0, x_1, \dots, x_n](x - x_0)(x - x_1) \cdots (x - x_{n-1}) \\ &\quad + L_n[x, x_0, x_1, \dots, x_n](x - x_0)(x - x_1) \cdots (x - x_n). \end{aligned} \quad (5)$$

可以证明 (见后面关于插值误差的讨论): 如果函数 $f(x) \in C^n[a, b]$, $x_i \in [a, b], 0 \leq i \leq n$ 为互异节点, 则 $\exists \xi \in (a, b)$ 使得

$$f[x_0, x_1, \dots, x_n] = \frac{1}{n!} f^{(n)}(\xi).$$

由于 $L_n(x)$ 是一个阶多项式, 于是有

$$L_n[x, x_0, x_1, \dots, x_n] = \frac{1}{(n+1)!} L_n^{(n+1)}(\xi) \equiv 0.$$

又由于在每个节点 x_i 处 $L_n(x_i) = f(x_i)$, $i = 0, 1, \dots, n$, 所以

$$L_n[x_0, x_1, \dots, x_k] = f[x_0, x_1, \dots, x_k], \quad k = 0, 1, \dots, n$$

再回到(5)式, 就有

$$L_n(x) \equiv N_n(x).$$

定理

线性方程组(3)的解 a_0, a_1, \dots, a_n 的表达式为:

$$a_0 = f[x_0],$$

$$a_k = f[x_0, x_1, \dots, x_k] = \frac{f[x_1, x_2, \dots, x_k] - f[x_0, x_1, \dots, x_{k-1}]}{x_k - x_0}.$$

其中 $k = 1, 2, \dots, n$.

定理

差商 $f[x_0, x_1, \dots, x_k]$ 不依赖于节点 x_0, x_1, \dots, x_k 的顺序.

- 实现 Newton 插值的关键就是利用 $f(x)$ 的插值数据

$$(x_i, f(x_i)), \quad i = 0, 1, \dots, n$$

从低阶到高阶递推地计算 $f(x)$ 的各阶差商：

$$f[x_0, x_1, \dots, x_k], \quad k = 1, 2, \dots, n$$

- 有了各阶差商后，Newton 插值多项式的表达式为：

$$p(x) = f(x_0) + \sum_{k=1}^n f[x_0, x_1, \dots, x_k] \prod_{j=0}^{k-1} (x - x_j).$$

- 从 1 阶到 n 阶的所有各阶差商的总计算量为 $\mathcal{O}(n^2)$.
- 计算 Newton 插值多项式的函数值可以利用 Horner 算法.
- 当新增加一个插值数据 $(x_{n+1}, f(x_{n+1}))$ 的时候，只要再计算一个高一阶的差商 $f[x_0, x_1, \dots, x_n]$.

Neville 插值

Neville 插值—逐次线性插值

给定数据 $\{(x_k, y_k = f(x_k))\}_{k=0}^n$, 其中 x_k 互异.

- 先用每个节点产生 0 次插值多项式 $p_i(x) = f(x_i), i = 0, 1, \dots, n$.
- 再用每两个相邻的 0 次插值多项式, 比如 $p_0(x), p_1(x)$ 产生 1 次插值多项式:

$$p_{0,1}(x) = \frac{x - x_1}{x_0 - x_1} p_0(x) + \frac{x - x_0}{x_1 - x_0} p_1(x)$$

$$p_{1,2}(x) = \frac{x - x_2}{x_1 - x_2} p_1(x) + \frac{x - x_1}{x_2 - x_1} p_2(x)$$

$$p_{2,3}(x) = \frac{x - x_3}{x_2 - x_3} p_2(x) + \frac{x - x_2}{x_3 - x_2} p_3(x)$$

\vdots

$p_{0,1}(x)$ 是在两个节点 x_0, x_1 上的 Lagrange 插值多项式,
 $p_{1,2}(x)$ 是在两个节点 x_1, x_2 上的 Lagrange 插值多项式,
 $p_{2,3}(x)$ 是在两个节点 x_2, x_3 上的 Lagrange 插值多项式, \dots

- 再用每两个相邻的 1 次 Lagrange 插值多项式, 比如 $p_{0,1}(x)$, $p_{1,2}(x)$ 产生 2 次插值多项式:

$$p_{0,1,2}(x) = \frac{x - x_2}{x_0 - x_2} p_{0,1}(x) + \frac{x - x_0}{x_2 - x_0} p_{1,2}(x)$$

$$p_{1,2,3}(x) = \frac{x - x_3}{x_1 - x_3} p_{1,2}(x) + \frac{x - x_1}{x_3 - x_1} p_{2,3}(x)$$

$$p_{2,3,4}(x) = \frac{x - x_4}{x_2 - x_4} p_{2,3}(x) + \frac{x - x_2}{x_4 - x_2} p_{3,4}(x)$$

\vdots

不难验证 $p_{0,1,2}(x)$ 是在 3 个节点 x_0, x_1, x_2 上的插值多项式, $p_{1,2,3}(x)$ 是在两个节点 x_1, x_2, x_3 上的插值多项式, $p_{2,3,4}(x)$ 是在两个节点 x_2, x_3, x_4 上的插值多项式, \dots

当 $n = 4$ 时, 以上过程可以产生下表:

x_0	$p_0(x)$				
x_1	$p_1(x)$	$p_{0,1}(x)$			
x_2	$p_2(x)$	$p_{1,2}(x)$	$p_{0,1,2}(x)$		
x_3	$p_3(x)$	$p_{2,3}(x)$	$p_{1,2,3}(x)$	$p_{0,1,2,3}(x)$	
x_4	$p_4(x)$	$p_{3,4}(x)$	$p_{2,3,4}(x)$	$p_{1,2,3,4}(x)$	$p_{0,1,2,3,4}(x)$

不难验证 $p_{0,1,2,3,4}(x)$ 就是在节点 x_0, x_1, x_2, x_3, x_4 上的 4 次插值多项式. 而且过程中产生的也都是在相应节点上的插值多项式.

记 $x_{i_1}, x_{i_2}, \dots, x_{i_k}$ 为一组 (k 个) 插值节点, $p_{i_1, i_2, \dots, i_k}(x)$ 为在这 k 个节点上的插值多项式, 上表中的每个多项式都具有

$$p_{j, j+1, \dots, j+m}(x), \quad j = 0, 1, 2, \dots, n; \quad m = 0, 1, \dots, n, \quad j + m \leq n$$

的形式.

抽象的描述：任取两个插值节点 $x_j, x_i, i > j$, 递归地定义多项式

$$p_{j,j+1,\dots,i}(x) = \frac{x - x_j}{x_j - x_i} p_{j,j+1,\dots,i-1}(x) + \frac{x - x_i}{x_i - x_j} p_{j+1,j+2,\dots,i}(x) \quad (6)$$

为简化记号, 记

$$p_{ji}(x) = p_{j,j+1,\dots,i}(x), \quad n \geq i > j \geq 0$$

可以证明 $p_{ji}(x)$ 就是 $f(x)$ 在 $i - j + 1$ 个插值节点 x_j, x_{j+1}, \dots, x_i 上的插值多项式 (见下面的定理).

递推公式(6)可以写成

$$p_{ji}(x) = \frac{x - x_j}{x_j - x_i} p_{i-1,j}(x) + \frac{x - x_i}{x_i - x_j} p_{i,j+1}(x) \quad (7)$$

定理 ($p_{ij}(x)$ 的插值性质)

$$p_{ji}(x_k) = f(x_k), \quad k = j, j+1, \dots, i$$

多项式插值的截断误差

多项式插值的截断误差

定理

设函数 $f(x) \in C^{n+1}[a, b]$, $a = x_0 < x_1 < \cdots < x_n = b$. $p_n(x)$ 为用数据 $\{(x_k, f(x_k))\}_{k=0}^n$ 确定的不高于 n 次的插值多项式. 则有

$$f(x) - p_n(x) = \frac{f^{(n+1)}(\xi)}{(n+1)!} \prod_{k=0}^n (x - x_k), \quad a < \xi < b.$$

证明: 如果 x 就是插值节点, 结论显然成立. 如果 x 不是插值节点, 让它固定, 并定义

$$w(t) = \prod_{i=0}^n (t - x_i) \quad (\text{关于 } t \text{ 的多项式})$$

$$c = \frac{f(x) - p_n(x)}{w(x)} \quad (\text{常数}) \quad (8)$$

$$\varphi(t) = f(t) - p_n(t) - cw(t) \quad (\text{关于 } t \text{ 的函数})$$

注意 $w(x) \neq 0$.

$\varphi(t)$ 有 $n+2$ 个零点 x_0, x_1, \dots, x_n, x .

由 Rolle 定理, $\varphi'(t)$ 有 $n+1$ 个零点, $\varphi''(t)$ 有 n 个零点, $\varphi'''(t)$ 有 $n-1$ 个零点, \dots , $\varphi^{(n+1)}(t)$ 有 1 个零点, 即存在 $\xi \in (a, b)$ 使得

$$0 = \varphi^{(n+1)}(\xi) = f^{(n+1)}(\xi) - p_n^{(n+1)}(\xi) - cw^{(n+1)}(\xi)$$

显然 $p_n^{(n+1)}(\xi) = 0$, 因为 $p(t)$ 是不高于 n 次的多项式.

而 $w^{(n+1)}(\xi) = (n+1)!$.

所以有

$$0 = \varphi^{(n+1)}(\xi) = f^{(n+1)}(\xi) - c(n+1)! = f^{(n+1)}(\xi) - \frac{(n+1)!}{w(x)}[f(x) - p_n(x)]$$

这就是

$$f(x) - p_n(x) = \frac{f^{(n+1)}(\xi)}{(n+1)!} \prod_{k=0}^n (x - x_k).$$

□

定理

设函数 $f(x) \in C[a, b]$, $a = x_0 < x_1 < \cdots < x_n = b$. $p_n(x)$ 为用数据 $\{(x_k, f(x_k))\}_{k=0}^n$ 确定的不高于 n 次的插值多项式. 则有

$$f(x) - p_n(x) = f[x, x_0, \dots, x_n] \prod_{j=0}^n (x - x_j), \quad x \notin \{x_0, x_1, \dots, x_n\}.$$

证明: 如果 x 等于某个插值节点, 结论显然成立. 考虑 $x \in (a, b)$ 并且不是插值节点, 把在 $n+2$ 个数据点 $\{(x_k, f(x_k))\}_{k=0}^n, (x, f(x))$ 上的不高于 $n+1$ 阶的 Newton 插值多项式记为 $q(u)$, 则有

$$q(u) = p_n(u) + f[x_0, \dots, x_n, x] \prod_{i=0}^n (u - x_i)$$

令 $u = x$, 由于 $q(x) = f(x)$, 所以

$$f(x) = p_n(x) + f[x_0, \dots, x_n, x] \prod_{i=1}^n (x - x_i)$$



定理

设函数 $f(x) \in C^n[a, b]$, $x_i \in [a, b]$, $0 \leq i \leq n$ 为互异节点, 则 $\exists \xi \in (a, b)$ 使得

$$f[x_0, x_1, \dots, x_n] = \frac{1}{n!} f^{(n)}(\xi)$$

证明: 设 $p_{n-1}(x)$ 是函数 $f(x)$ 在节点 x_0, x_1, \dots, x_{n-1} 上不高于 $n-1$ 次的插值多项式, 由前面的定理, 一方面存在 $\xi \in (a, b)$ 使得

$$f(x_n) - p_{n-1}(x_n) = \frac{f^{(n)}(\xi)}{n!} \prod_{k=0}^{n-1} (x_n - x_k)$$

另一方面, 又有

$$f(x_n) - p_{n-1}(x_n) = f[x_0, x_1, \dots, x_{n-1}, x_n] \prod_{k=0}^{n-1} (x_n - x_k)$$

所以定理结论成立.



引理

如果 $x_i = a + ih$, $i = 0, 1, 2, \dots, n$, 其中 $h = (b - a)/n$, 则对任意 $x \in [a, b]$ 都有

$$\prod_{i=0}^n |x - x_i| \leq \frac{1}{4} h^{n+1} n!$$

- 如果 $f(x) \in C^\infty[a, b]$ 且 $\max_{x \in [a, b]} |f^{(n)}(x)| \leq M$, $\forall n \in \mathbb{N}$, M 与 n 无关, $p_n(x)$ 是等距节点 $x_i = a + ih$, $i = 0, 1, 2, \dots, n$ 的插值多项式, 则有

$$\max_{x \in [a, b]} |f(x) - p_n(x)| \leq \frac{Mh^{n+1}}{4(n+1)} \rightarrow 0, \text{ 当 } n \rightarrow +\infty.$$

- 如果只有 $f(x) \in C^\infty[a, b]$, 则

$$\max_{x \in [a, b]} |f(x) - p_n(x)| \leq \frac{\max_{x \in [a, b]} |f^{(n+1)}(x)|}{4(n+1)} h^{n+1}$$

当 $n \rightarrow +\infty$ 时右端很可能无界!

高次多项式插值的缺点

```
1 x = -5:5;
2 y = 1./(1+x.^2);
3 p = polyfit(x,y,10);
4 xq = -5:0.01:5;
5 f = polyval(p,xq);
6 figure
7 plot(x,y, 'o', xq, f, '-r', 'Linewidth', 2)
8 hold on
9 fplot(@(x) 1./(1+x.^2), [-5 5], 'b', 'Linewidth', 2)
10 title('Runge现象');
```


Runge 函数: $f(x) = \frac{1}{1+x^2}$, $x \in [-5, 5]$, 无穷次可微 (蓝色).
用等距节点做 10 阶插值多项式 (红色).

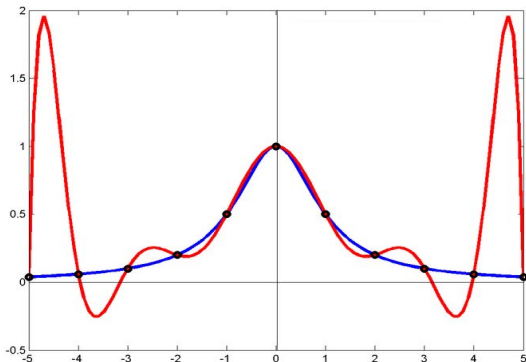


图: 等距节点高次插值多项式的 Runge 现象

等距节点 Lagrange 多项式插值过程是不稳定的.
如果插值数据有误差

$$\{(x_k, y_k)\}_{k=0}^n \rightarrow \{(x_k, \tilde{y}_k)\}_{k=0}^n$$

相应的 Lagrange 插值多项式

$$p_n(x) - \tilde{p}_n(x) = \sum_{k=0}^n (y_k - \tilde{y}_k) l_k(x)$$

于是有

$$\max_{a \leq x \leq b} |p_n(x) - \tilde{p}_n(x)| \leq \Lambda_n \max_{0 \leq k \leq n} |y_k - \tilde{y}_k|, \quad \Lambda_n = \max_{a \leq x \leq b} \sum_{k=0}^n |l_k(x)|,$$

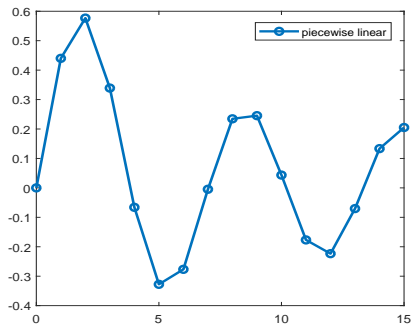
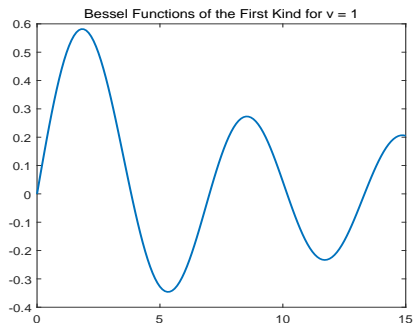
如果 $[a, b]$ 区间上的等距节点数 n 不断增加, 可以证明:

$$\Lambda_n \simeq \frac{2^{n+1}}{n \log(n)}.$$

分段线性插值

分段线性插值

分段线性插值就是将相邻插值数据用直线连起来。



很好地反应了数据点的变化趋势. 插值函数在节点处有“尖点”. 在整个区间上不再是一个多项式!
又称为一阶样条函数 (first-degree spline).

定理

设函数 $f(x) \in C^2[a, b]$. $a = x_0 < x_1 < \cdots < x_n = b$ 为插值节点, 记 $h = \max_k |x_{k+1} - x_k|$, $\phi_h(x)$ 为用数据 $\{(x_k, f(x_k))\}_{k=0}^n$ 确定的分段线性插值函数. 则有

$$\max_{x \in [a, b]} |f(x) - \phi_h(x)| \leq \frac{M}{8} h^2.$$

其中 $M = \max_{x \in [a, b]} |f''(x)|$.

- 事实上, 如果只知道 $f(x) \in C[a, b]$, 也能证明

$$\max_{x \in [a, b]} |f(x) - \phi_h(x)| \rightarrow 0, \quad h \rightarrow 0^+.$$

- 分段线性插值关于插值数据是稳定的.

分段三次 Hermite 插值

两点三次 Hermite 插值

Hermite 插值：不光用函数值，还用导数值的插值.

设 $f(x)$ 在区间 $[a, b]$ 两端的数据 $f(a), f(b), f'(a), f'(b)$, 要找一个三次插值多项式 $H_3(x)$ 满足插值条件:

$$H_3(a) = f(a), H_3(b) = f(b), H'_3(a) = f'(a), H'_3(b) = f'(b).$$

首先构造区间 $[a, b]$ 上三次多项式空间 \mathbb{P}_3 的基函数

$$\alpha_1(x), \alpha_2(x), \beta_1(x), \beta_2(x),$$

使之满足:

$$\begin{aligned}\alpha_1(a) &= 1, \alpha_1(b) = 0, \alpha'_1(a) = 0, \alpha'_1(b) = 0, \\ \alpha_2(a) &= 0, \alpha_2(b) = 1, \alpha'_2(a) = 0, \alpha'_2(b) = 0, \\ \beta_1(a) &= 0, \beta_1(b) = 0, \beta'_1(a) = 1, \beta'_1(b) = 0, \\ \beta_2(a) &= 0, \beta_2(b) = 0, \beta'_2(a) = 0, \beta'_2(b) = 1.\end{aligned}$$

利用上述条件可得:

$$\alpha_1(x) = \left(1 + 2\frac{x-a}{b-a}\right)\left(\frac{x-b}{a-b}\right)^2, \quad \beta_1(x) = (x-a)\left(\frac{x-b}{a-b}\right)^2,$$
$$\alpha_2(x) = \left(1 + 2\frac{x-b}{a-b}\right)\left(\frac{x-a}{b-a}\right)^2, \quad \beta_2(x) = (x-b)\left(\frac{x-a}{b-a}\right)^2.$$

$[a, b]$ 区间上的两点三次 Hermite 插值多项式 $H_3(x)$ 的表达式为

$$H_3(x) = f(a)\alpha_1(x) + f(b)\alpha_2(x) + f'(a)\beta_1(x) + f'(b)\beta_2(x).$$

定理

设 $f(x) \in C^4[a, b]$, 则有

$$|f(x) - H_3(x)| \leq \frac{M}{384}(b-a)^4$$

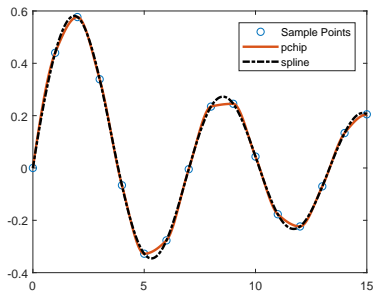
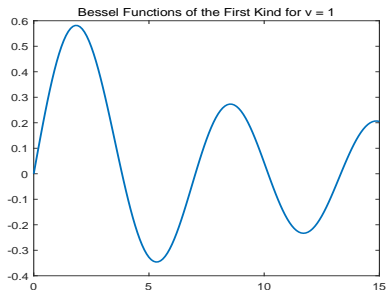
其中 $M = \max_{x \in [a, b]} |f^{(4)}(x)|$. 并且 $H_3(x)$ 关于插值数据是稳定的.

分段三次 Hermite 插值

设 $f(x)$ 在 $[a,b]$ 区间上定义, 并且已知它在 n 个点处的函数值和导数值

$$(x_k, f(x_k), f'(x_k)), \quad k = 0, 1, 2, \dots, n.$$

在每个小区间 $[x_k, x_{k+1}]$ 上进行两点三次 Hermite 插值, 就得到 $[a, b]$ 区间上的分段三次 Hermite 插值.



分段三次 Hermite 插值

分段三次 Hermite 插值能很好地逼近被插函数.

定理

设函数 $f(x) \in C^4[a, b]$. $a = x_0 < x_1 < \cdots < x_n = b$ 为互异插值节点, 记 $h = \max_k |x_{k+1} - x_k|$, $H_h(x)$ 为用插值数据 $\{(x_k, f(x_k), f'(x_k))\}_{k=0}^n$ 确定的分段三次 Hermite 插值函数. 则有

$$\max_{x \in [a, b]} |f(x) - H_h(x)| \leq \frac{M}{384} h^4.$$

其中 $M = \max_{x \in [a, b]} |f^{(4)}(x)|$.

- 插值函数 $H_h(x) \in C^1[a, b]$, 没有“尖点”.
- 分段三次 Hermite 插值关于插值数据是稳定的.

Shape-Preserving Piecewise Cubic 插值

如果插值数据仅有 $\{(x_k, y_k)\}_{k=0}^n$, 没有一阶导数值, 可以用

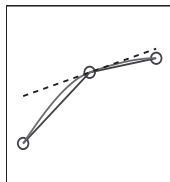
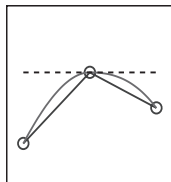
$$f'(x_k) \approx \delta_k = \frac{y_{k+1} - y_k}{x_{k+1} - x_k}, \quad \text{或者} \quad f'(x_k) \approx \delta_{k-1} = \frac{y_k - y_{k-1}}{x_k - x_{k-1}}.$$

Shape-Preserving 的想法: 如果 $\delta_k \delta_{k-1} \leq 0$, 取 $f'(x_k) = 0$; 否则用 δ_{k-1}, δ_k 的调和平均 (harmonic mean).

记 $h_k = x_{k+1} - x_k$, 取 $f'(x_k)$ 满足:

$$\frac{w_1 + w_2}{f'(x_k)} = \frac{w_1}{\delta_k} + \frac{w_2}{\delta_{k-1}}, \quad \text{其中 } w_1 = 2h_k + h_{k-1}, w_2 = h_k + 2h_{k-1}$$

$f'(x_0), f'(x_n)$ 称为边界条件, 需要另外给定.



三次样条插值

三次样条插值 (cubic spline interpolation)

定义 (三次样条):

设函数 $f(x)$ 在 $[a, b]$ 区间定义. 插值数据为 $\{(x_k, f(x_k))\}_{k=0}^n$. 如果函数 $S(x)$ 满足:

- ① $S(x)$ 在每个区间 $[x_k, x_{k+1}]$ 上是不超过三次的多项式;
- ② $S(x_k) = f(x_k)$, $k = 0, 1, \dots, n$;
- ③ $S(x) \in C^2[a, b]$.

则称 $S(x)$ 为三次样条插值函数.

记函数 $f(x)$ 在每个节点处的函数值为 y_k , 导数值为 d_k (未知).

用插值数据 $(x_k, y_k, d_k), (x_{k+1}, y_{k+1}, d_{k+1})$ 可以得到区间 $[x_k, x_{k+1}]$ 上的三次 Hermite 插值多项式 $H^{(k)}(x)$.

显然，三次样条插值函数可以表示为

$$S(x) = \begin{cases} H^{(0)}(x), & x \in [x_0, x_1) \\ H^{(1)}(x), & x \in [x_1, x_2) \\ \vdots & \vdots \\ H^{(n-1)}(x), & x \in [x_{n-1}, x_n] \end{cases}$$

在每个内部节点 $x_k (1 \leq k \leq n-1)$ 处，在其左侧和右侧分别计算 $S''(x_k - 0)$ 和 $S''(x_k + 0)$ ，并令二者相等，就会得到一个关于 d_k 的线性方程组。

解出 d_k 就实现了三次样条插值。

未知量 d_0, d_1, \dots, d_n 有 $n+1$ 个，方程只有 $n-1$ 个，所以需要补充在两个端点 $x_0 = a, x_n = b$ 处的边界条件。常用的边界条件有下列三种：

- ① $S'(a) = d_0, S'(b) = d_n$ 事先给定 (clamped, 固支)
- ② $S''(a) = S''(b) = 0$ (natural, 自然)
- ③ $S(a) = S(b), S'(a) = S'(b), S''(a) = S''(b)$ (periodic, 周期)

以三次自然样条插值为例, 记 $z_i = S''(x_i)$, $i = 0, \dots, n$, 由于 $S''(x)$ 在区间 $[x_i, x_{i+1}]$ 上为一次函数, 所以有

$$S''(x) = \frac{z_{i+1}}{h_i}(x - x_i) + \frac{z_i}{h_i}(x_{i+1} - x), \quad x \in [x_i, x_{i+1}]$$

其中 $h_i = x_{i+1} - x_i$, $0 \leq i \leq n-1$. 把此式积分两次, 得到

$$\begin{aligned} S(x) = & \frac{z_{i+1}}{6h_i}(x - x_i)^3 + \frac{z_i}{6h_i}(x_{i+1} - x)^3 + \\ & + \left(\frac{y_{i+1}}{h_i} - \frac{h_i}{6}z_{i+1} \right) (x - x_i) + \left(\frac{y_i}{h_i} - \frac{h_i}{6}z_i \right) (x_{i+1} - x) \end{aligned}$$

其中 $x \in [x_i, x_{i+1}]$. 对上式求一次导数, 又得

$$\begin{aligned} S'(x) = & \frac{z_{i+1}}{2h_i}(x - x_i)^2 - \frac{z_i}{2h_i}(x_{i+1} - x)^2 + \frac{y_{i+1}}{h_i} - \frac{h_i}{6}z_{i+1} - \frac{y_i}{h_i} + \frac{h_i}{6}z_i \\ S'(x_i + 0) = & -\frac{h_i}{6}z_{i+1} - \frac{h_i}{3}z_i + b_i, \quad \text{其中 } b_i = \frac{y_{i+1} - y_i}{h_i} \end{aligned}$$

类似地, 在区间 $[x_{i-1}, x_i]$ 上有

$$S'(x_i - 0) = \frac{h_{i-1}}{6} z_{i-1} + \frac{h_{i-1}}{3} z_i + b_{i-1}$$

因为 $S(x) \in C^1[a, b]$, 所以令 $S'(x_i - 0) = S'(x_i + 0)$ 可得

$$h_{i-1} z_{i-1} + 2(h_{i-1} + h_i) z_i + h_i z_{i+1} = 6(b_i - b_{i-1}), \quad 1 \leq i \leq n-1$$

这是一个关于 z_i 的三对角线性方程组 ($z_0 = z_n = 0$).

定理

设函数 $f(x) \in C^4[a, b]$. $a = x_0 < x_1 < \cdots < x_n = b$ 为互异插值节点. 记 $h = \max_k |x_{k+1} - x_k|$, $S_h(x)$ 为用数据 $\{(x_k, f(x_k))\}_{k=0}^n$ 和上述三种边界条件确定的三次样条插值函数. 则有

$$\max_{x \in [a, b]} |f^{(j)}(x) - S_h^{(j)}(x)| \leq C_j h^{4-j}, \quad j = 0, 1, 2.$$

其中 $M = \max_{x \in [a, b]} |f^{(4)}(x)|$, $C_0 = 5/384$, $C_1 = 1/24$, $C_2 = 3/8$.


```
1 x = 0:pi/4:2*pi;  
2 v = sin(x);  
3 xq = 0:pi/16:2*pi;  
4 figure  
5 vq1 = interp1(x,v,xq);  
6 plot(x,v,'o',xq,vq1,'-','Linewidth',2);  
7 title('piecewise linear');  
8 figure  
9 vq2 = interp1(x,v,xq,'spline');  
10 plot(x,v,'o',xq,vq2,':','Linewidth',2);  
11 xlim([0 2*pi]);  
12 title('cubic spline');
```

```
1 x = -4:1:5;
2 y = [ 0 0 0 1 1 1 0 0 0 0];
3 figure
4 plot(x ,y , 'k*- ', 'Linewidth ',2)
5 hold on
6 xq = -4:0.1:5;
7 y1 = interp1(x,y,xq, 'pchip ');
8 plot (xq ,y1 , 'r- ', 'Linewidth ',2)
9 title('piecewise cubic Hermite (shape-preserving)');
10 figure
11 plot(x ,y , 'k*- ', 'Linewidth ',2)
12 hold on
13 y2 = interp1(x,y,xq, 'spline ');
14 plot (xq ,y2 , 'g- ', 'Linewidth ',2)
15 title('cubic spline ');
16 figure
17 plot(x ,y , 'k*- ', 'Linewidth ',2)
18 hold on
19 p = polyfit(x,y,9);
20 y3 = polyval(p,xq);
21 plot (xq ,y3 , 'c- ', 'Linewidth ',2)
22 title('interpolation polynomial of order 9');
```

```

1 figure
2 fplot(@(x) 1./(1+x.^2), [-5 5], 'g', 'Linewidth',2)
3 hold on
4 x = -5:1:5;
5 y = 1./(1+x.^2);
6 xq = -5:0.05:5;
7 yq = interp1(x,y,xq, 'spline');
8 plot(xq,yq, '-', 'Linewidth',2)
9 title('cubic spline');
10 figure
11 fplot(@(x) 1./(1+x.^2), [-5 5], 'g', 'Linewidth',2)
12 hold on
13 x = -5:1:5;
14 y = 1./(1+x.^2);
15 xq = -5:0.05:5;
16 yq2 = interp1(x,y,xq, 'pchip');
17 plot(xq,yq2, '-', 'Linewidth',2)
18 title('pchip');
19 figure
20 fplot(@(x) 1./(1+x.^2), [-5 5], 'g', 'Linewidth',2)
21 hold on
22 p = polyfit(x,y,10);
23 yq1 = polyval(p,xq);

```

数值微分

设 $f(x)$ 在 $[a, b]$ 区间上定义, 并假定

$$a \leq x_0 < x_1 < \cdots < x_n \leq b$$

是 $[a, b]$ 区间中的 n 个给定的节点.

数值微分问题的典型提法是: 已知函数在上述节点处的函数值为

x	x_0	x_1	x_2	\cdots	x_n
$f(x)$	$f(x_0)$	$f(x_1)$	$f(x_2)$	\cdots	$f(x_n)$

利用这些函数值求 $f'(x)$ (或 $f''(x)$, $f'''(x)$ 等) 在某些点处的近似值.

差商型数值微分公式

设节点为等距的, 即 $x_{i+1} = x_i + h$, $h = (b - a)/n$, k 为一个正整数, 并假定 $f(x)$ 有 k 阶的微商, 对 $1 \leq i \leq n - 1$, 有如下的 Taylor 展开式:

$$f(x_{i+1}) = f(x_i) + hf'(x_i) + \cdots + \frac{h^k}{k!}f^{(k)}(\xi_1) \quad (9)$$

$$f(x_{i-1}) = f(x_i) - hf'(x_i) + \cdots + \frac{(-h)^k}{k!}f^{(k)}(\xi_2) \quad (10)$$

分别在上面两式中取 $k = 2, 3, 4$, 并且做简单的代数运算, 可得

$$\begin{aligned} f'(x_i) &= \frac{f(x_{i+1}) - f(x_i)}{h} - \frac{1}{2}hf''(\xi_1) \\ f'(x_i) &= \frac{f(x_i) - f(x_{i-1}))}{h} + \frac{1}{2}hf''(\xi_2) \\ f'(x_i) &= \frac{f(x_{i+1}) - f(x_{i-1}))}{2h} - \frac{1}{6}h^2f'''(\xi_3) \\ f''(x_i) &= \frac{f(x_{i+1}) - 2f(x_i) + f(x_{i-1}))}{h^2} - \frac{1}{12}h^2f^{(4)}(\xi_4) \end{aligned} \quad (11)$$

忽略上面各式右端的最后一项，可得用差商近似微商的如下数值微分公式.

(1) 一阶微商的**向前差商**近似:

$$f'(x_i) \approx \frac{f(x_{i+1}) - f(x_i)}{h}.$$

(2) 一阶微商的**向后差商**近似:

$$f'(x_i) \approx \frac{f(x_i) - f(x_{i-1})}{h}.$$

(3) 一阶微商的**中心差商**近似:

$$f'(x_i) \approx \frac{f(x_{i+1}) - f(x_{i-1}))}{2h}.$$

(4) 二阶微商的**中心差商**近似:

$$f''(x_i) \approx \frac{f(x_{i+1}) - 2f(x_i) + f(x_{i-1}))}{h^2}.$$

当 f 的各阶导函数有界时, 利用(11)式, 可知一阶微商的向前、向后差商近似的截断误差是 $O(h)$, 一阶微商的中心差商近似的截断误差是 $O(h^2)$, 二阶微商的中心差商近似的截断误差是 $O(h^2)$. 显然, 从截断误差来看, 中心差商近似优于“偏心”差商近似 (用同样多的点值, 可以得到更高阶的精度).

从(11)式还可看出, h 越小, 数值微分公式的截断误差也越小, 但是, 由于舍入误差的存在, 使用上述数值微分公式时, 不能把 h 取得太小. 请看下例.

例 假定在字长为 9 的十进制数系下用向前差商公式求 $f(x) = e^x$ 在 $x = 1.15$ 处的导数值, 则其绝对误差如下表所示:

h	10^{-3}	10^{-5}	10^{-7}	10^{-9}
误差	0.002	-0.0002	0.04	3.2

观察上表我们发现, 在实际计算时, 并非步长 h 取得越小, 计算精度越高.

为了改进差商公式的数值稳定性, 还可以利用 Taylor 展开构造**隐式数值微分格式**. 下面就来导出计算一阶微商的隐式数值微分格式. 在 (9) 式和 (10) 式中取 $k = 6$ 并将两式相加, 可得

$$f''(x_i) = \frac{f(x_{i+1}) - 2f(x_i) + f(x_{i-1}))}{h^2} - \frac{1}{12}h^2 f^{(4)}(x_i) + O(h^4); \quad (12)$$

在 (9) 式和 (10) 中取 $k = 7$ 并将两式相减, 可得

$$f'(x_i) = \frac{f(x_{i+1}) - f(x_{i-1}))}{2h} - \frac{h^2}{6}f'''(x_i) - \frac{h^4}{120}f^{(5)}(x_i) + O(h^6). \quad (13)$$

由 (12) 式可得

$$f'''(x_i) = (f')''|_{x=x_i} = \frac{f'(x_{i+1}) - 2f'(x_i) + f'(x_{i-1}))}{h^2} - \frac{1}{12}h^2 f^{(5)}(x_i) + O(h^4),$$

将此式代入 (13) 式, 有

$$f'(x_i) = \frac{f(x_{i+1}) - f(x_{i-1}))}{2h} - \frac{h^2}{6} \frac{f'(x_{i+1}) - 2f'(x_i) + f'(x_{i-1}))}{h^2} + O(h^4)$$

略去上式右端的 $O(h^4)$ 项, 记 $f'(x_i)$ 的近似值为 m_i , 记 $f(x_i)$ 为 f_i , 得到

$$m_i = \frac{f_{i+1} - f_{i-1}}{2h} - \frac{1}{6}(m_{i+1} - 2m_i + m_{i-1}), \quad i = 1, 2, \dots, n-1.$$

再补充两个边界条件, 例如假设 $f'(x_0), f'(x_n)$ 已知, 即假定 $m_0 = f'(x_0)$ 和 $m_n = f'(x_n)$ 已知, 则可得关于 m_i 的线性代数方程组:

[illegible]

显然，这是一个对角占优的三对角线性代数方程组，可用追赶法快速求解。这种方法需要求解线性代数方程组，所以称为**隐式格式**，但它可以同时计算所有点的导数，而且精度较高，在微分方程数值解等领域有很多应用。隐式格式的另一个优点是其数值稳定性比较好。

插值型求导公式

利用 $f(x)$ 在 $n+1$ 个节点的函数值, 根据多项式插值方法, 可以构造 n 阶插值多项式 $p_n(x)$, 使得

$$f(x) = p_n(x) + R_n(x), \quad R_n(x) = \frac{f^{(n+1)}(\xi(x))}{(n+1)!} \omega(x),$$

其中 $\omega(x) = \prod_{i=0}^n (x - x_i)$. 我们可以用 $p'_n(x)$ 来近似 $f'(x)$, 这样做的截断误差可推导如下: 首先有

$$\begin{aligned} f'(x) &= p'_n(x) + R'_n(x) \\ &= p'_n(x) + \frac{f^{(n+1)}(\xi(x))}{(n+1)!} \omega'(x) + \omega(x) \frac{d}{dx} \frac{f^{(n+1)}(\xi(x))}{(n+1)!}, \end{aligned}$$

在上式中令 $x = x_i$, 即得

$$f'(x_i) = p'_n(x_i) + \frac{f^{(n+1)}(\xi(x_i))}{(n+1)!} \omega'(x_i).$$

这表明用 $p'_n(x_i)$ 近似 $f'(x_i)$ 的截断误差为 $\frac{f^{(n+1)}(\xi(x_i))}{(n+1)!}\omega'(x_i)$.

例如, $n = 1$ 时, 有一阶 Lagrange 插值多项式:

$$p_1(x) = \frac{x - x_1}{x_0 - x_1}f(x_0) + \frac{x - x_0}{x_1 - x_0}f(x_1).$$

从而有

$$\begin{aligned}f'(x_0) &= \frac{f(x_1) - f(x_0)}{x_1 - x_0} + \frac{f''(\xi(x_0))}{2!}(x_1 - x_0), \\f'(x_1) &= \frac{f(x_1) - f(x_0)}{x_1 - x_0} - \frac{f''(\xi(x_1))}{2!}(x_1 - x_0),\end{aligned}$$

这就是一阶微商的向前与向后差商近似.

再如, $n = 2$ 时, 有二阶 Lagrange 插值多项式:

$$p_2(x) = \frac{(x-x_1)(x-x_2)}{(x_0-x_1)(x_0-x_2)}f(x_0) + \frac{(x-x_0)(x-x_2)}{(x_1-x_0)(x_1-x_2)}f(x_1) + \frac{(x-x_0)(x-x_1)}{(x_2-x_0)(x_2-x_1)}f(x_2).$$

如果 $x_1 - x_0 = x_2 - x_1 = h$,

$$p'_2(x) = \frac{2x-x_1-x_2}{2h^2}f(x_0) - \frac{2x-x_0-x_2}{h^2}f(x_1) + \frac{2x-x_0-x_1}{2h^2}f(x_2).$$

于是可推出数值微分公式:

$$f'(x_0) \approx p'_2(x_0) = \frac{-3f(x_0) + 4f(x_1) - f(x_2)}{2h},$$

$$f'(x_1) \approx p'_2(x_1) = \frac{f(x_2) - f(x_0)}{2h},$$

$$f'(x_2) \approx p'_2(x_2) = \frac{f(x_0) - 4f(x_1) + 3f(x_2)}{2h},$$

以及它们的截断误差

$$|f'(x_0) - p'_2(x_0)| = \left| \frac{2}{3!} f^{(3)}(\xi(x_0)) h^2 \right| \leq \frac{M}{3} h^2,$$

$$|f'(x_1) - p'_2(x_1)| = \left| \frac{1}{3!} f^{(3)}(\xi(x_1)) h^2 \right| \leq \frac{M}{6} h^2,$$

$$|f'(x_2) - p'_2(x_2)| = \left| \frac{2}{3!} f^{(3)}(\xi(x_2)) h^2 \right| \leq \frac{M}{3} h^2,$$

其中

$$M = \max_{x_0 \leq x \leq x_2} |f^{(3)}(x)|.$$

与 Taylor 展开方法相比, 因为插值多项式的构造并不要求节点 x_i 是等距的, 所以插值型求导方法的适用范围更广.

有些时候, 还可以使用更复杂的插值 (例如, 三次样条插值) 来做数值微分.

- ① Cleve Moler,
Numerical Computing with MATLAB,
SIAM, 2004.
- ② Alfio Quarteroni, Riccardo Sacco, Fausto Saleri,
Numerical Mathematics(2nd Edition),
Springer, 2007.
- ③ Ward Cheney, David Kincaid, Numerical Mathematics and
Computing (6th Edition), Thomson Brooks/Cole, 2008.
- ④ Walter Gander, Martin J. Gander, Felix Kwok,
Scientific Computing: an introduction using Maple and MATLAB,
Springer 2014.